

閃綠岩風化土の工学的性質について

大阪工業大学 正会員 福田 譲
○岡山県 正会員 草加 基

1. まえがき

筆者らは過去数年間、火成岩風化土の研究を行なっているが、その一環として本報告は閃綠岩風化土の工学的性質について詳細するものである。閃綠岩風化土は、関西地域の山間部に所々点在し、その工学的性質を把握しておく必要がある。この風化土の母岩鉱物は斜長石、角閃石、輝石、黒雲母でその風化物は砂質土であるが、マサエに比べ粘性に富み特有の個性を有していることが判明した。

2. 試料

a)採取地；宝塚市花屋敷 b)鉱物；長石・角閃石・カオリナイト・ハロイサイト・イライト c)試料の調整；自然乾燥後、約2mの高さから30回落下調整し、2mm以上の大粒を除去し実験試料とした。

3. 実験装置および方法

a)圧縮試験；径10.0cm、高さ4.0cmのモールドを使用し静的抱束圧縮試験方法を採用した。また初期の誤差を除去するため、あらかじめ0.0262% cm^2 の先行荷重を加え、実験を開始した。なお、モールド壁の抵抗力を別途の実験で知り、解析にはその修正荷重を用いた。
b)せん断試験；径10.0cm、高さ4.0cmの一面せん断試験を行なった。試験は排水(排気)の条件で行なった。

4. 工学的性質

a)基本的性質；実験結果を表-1、図-1に示す。
b)締固め；JIS A 1210による試験結果を表-2に示す。図か

らわかるように最大乾燥密度 γ_d は1.7% cm^3 前後を示し、 C_{opt} は19.0%前後で、半位程度で締固まる工のようである。

c)圧縮性； $e-\log w$ 線を図-3に示す。図からわかるように不飽和工の $e-\log w$ 線は約0.05% cm^2 以下の先行荷重影響部分を除き、正規圧縮状態で直線性を呈す。また図-4に示す等速圧縮曲線を見ると、降荷により体積膨張は極めて小さい。また図-5に不飽和工の w と C_c の関係を示す。これによると C_c は $w=19.0\%$ 付近で約0.6の最大値を示し

C_w 線は工方に凸な曲線となっている。この主たる理由は、試料中に比較的粘性の高いイライトなどの粘土鉱物の粘性が水量によってかなり左右され、そして試料含水量が約19.0%で圧縮度量が最も大きな粘性状態にあるためと思われる。図-6に試料の $w-n$ 線を示し

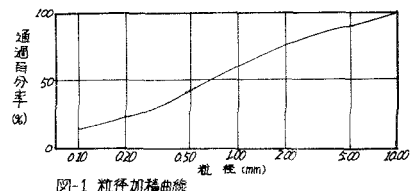


図-1 粒径加積曲線

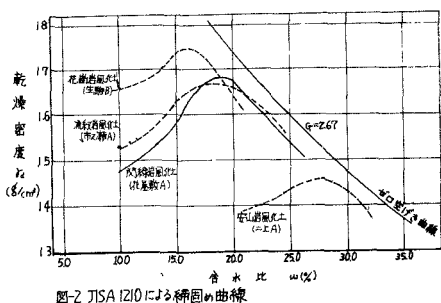


図-2 JIS A 1210による締固め曲線

たものである。この図から荷重が約0.5%以下の場合、 w - $\log e$ 線は下方に凸となり、荷重が約20%以上の場合 w - $\log e$ 線は上方に凸となる。 e - $\log w$ 線は変る。これは前述のように、試料中の比較的

活性度の高いイライトなどの粘土鉱物の特性が大きく影響しているものと考えられる。また、水や土作成した飽和土については、供試体作成時に早く緻密化状態となるので、間隙比は非常に小さく、 e - $\log w$ 線は上方に凸となる。

d)透水性；試料を所定の含水比に調整し、正規圧縮状態（静的）で締固めた後に定水位透水試験を行なった。その結果は半対数紙上で透水係数（ K ）と間隙比（ e ）ほぼ直線関係を示し、およそ $K = 10^{2.27(e-2.65)}$ (cm/sec)なる関係を示していい。e)セン断強さ；図-7は正規圧縮状態の不飽和土セン断強さ定数を示す。結果によると $\phi_u = 28^\circ \sim 36^\circ$ となりセン断強さは含水比の増加とともに下ってやや減少する傾向がある。注水飽和土の正規圧縮状態における $\phi_{c'}$ は、供試体作成時の含水比に左右されず、 $29^\circ \sim 32^\circ$ となった。

f)CBR値；非水浸CBR値は、60~80%の範囲で流紋岩風化工と花崗岩風化工の中間の値を示し、修正CBR値100~275%と、かなりばらついていい。

5. あとがき

以上、閃綠岩風化土の工学的性質を述べたが、今後とくに過圧縮状態の圧縮量と、セン断強さについて発明する予定である。なお、本研究について京大松尾新一郎教授を委員長とするマツエ委員会の方々に種々御示唆いただいたことを感謝の意を表します。

参考文献；松尾新一郎、西田一彦、福田謹及成岩風化土の工学的性質について、昭和47年度工学会年次学術講演概要、3部、PP579~582

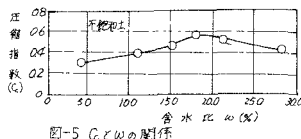


図-5 e と w の関係

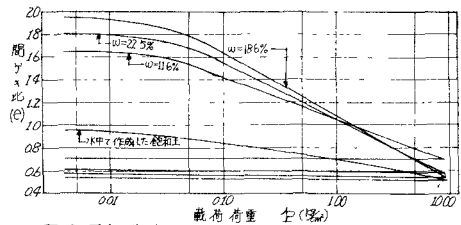


図-3 圧縮曲線

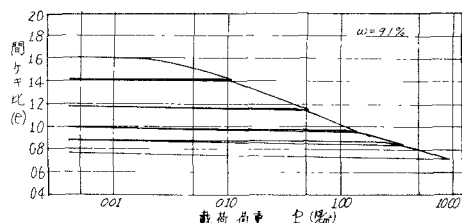


図-4 饱和圧縮曲線

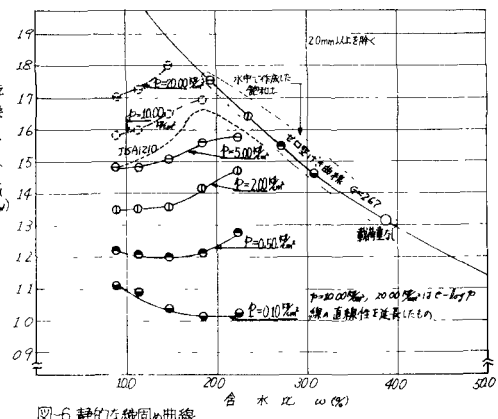


図-6 静的不排水剪曲線

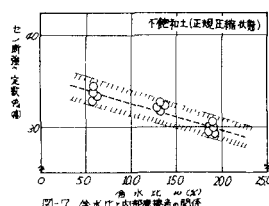


図-7 干燥土(正規圧縮状態)

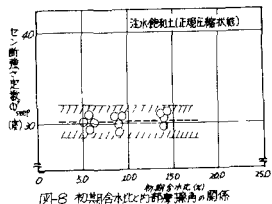


図-8 沈浸土(正規圧縮状態)